

Última actualización de la información: Marzo 2025

Configuraciones productos: PG89.M6

PG89.M6: Módulo para raíl Superrail 48V - DALI - UGR<19 - L=912 - Fila continua - 7.5W 892.5lm - 2700K - CRI 90 - Blanco/Negro Transparente



Código producto

PG89.M6: Módulo para raíl Superrail 48V - DALI - UGR<19 - L=912 - Fila continua - 7.5W 892.5lm - 2700K - CRI 90 - Blanco/Negro Transparente

Descripción

Producto para iluminación lineal con LED monocromático 2700K CRI90 con adaptador para instalación sobre raíl Superrail 48V. Cuerpo de iluminación UGR<19 con luminancia controlada ($L \leq 3000 \text{cd/m}^2$) ideal para espacios con uso de videoterminales. Óptica Space Opti-Diamond disponible en versión con carcasa blanca (blanco transparente) o negra (negro transparente). El adaptador de material termoplástico incluye un circuito controlador CC/CC regulable DALI. La tecnología integrada «power line» permite regular por separado cada uno de los módulos luminosos instalados en el raíl. Cuerpo principal de aluminio extruido versión frameless. Sistema rápido de conexión eléctrica del adaptador sobre raíl sin necesidad de herramientas. Módulo para fila continua sin tapones (a pedir como accesorio)

Instalación

Fijación mecánica con adaptador en raíl Superrail 48V. Cerrar la fila continua con el par de tapones a pedir por separado.

Colores

Blanco/Negro Transparente (M6)

Peso (Kg)

0.52

Montaje

Low voltage track

Equipo

Controlador LED CC/CC integrado en el adaptador - conexión directa en el raíl de 48 V. Unidad de alimentación del raíl a pedir por separado.

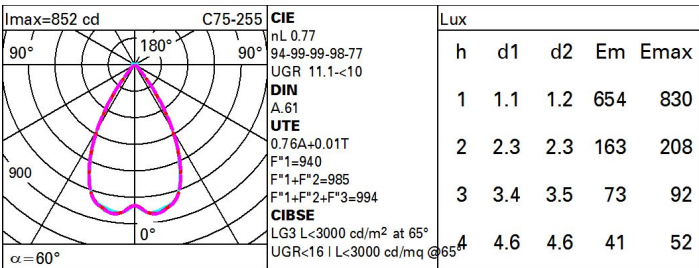
Se conforma con EN60598-1 y regulaciones pertinentes



Datos técnicos

| | | | |
|---|-------|--------------------------------------|---------------------------------------|
| Im de sistema: | 809 | MacAdam Step: | 3 |
| W de sistema: | 6.3 | Código de lámpara: | LED |
| Im de la fuente: | 1050 | Número de lámparas por grupo óptico: | 1 |
| W de la fuente: | 6.3 | Código ZVEI: | LED |
| Eficiencia luminosa (lm/W, valor del sistema): | 128.3 | Número de grupos ópticos: | 1 |
| Im en modo emergencia: | - | Corriente LED [mA]: | 39 |
| Flujo total de emisión en un ángulo de 90° o superior [Lm]: | 15 | Factor de potencia: | Ver Hoja de instrucciones |
| Light Output Ratio (L.O.R.) [%]: | 77 | % mínimo de dimerización: | 5 |
| CRI (mínimo): | 90 | Protección al sobrevoltaje: | 2kV Modo común y 1kV Modo diferencial |
| Temperatura de color [K]: | 2700 | Control: | DALI |

Polar



| h | d1 | d2 | Em | Emax |
|---|-----|-----|-----|------|
| 1 | 1.1 | 1.2 | 654 | 830 |
| 2 | 2.3 | 2.3 | 163 | 208 |
| 3 | 3.4 | 3.5 | 73 | 92 |
| 4 | 4.6 | 4.6 | 41 | 52 |

Coefficientes de uso

| R | 77 | 75 | 73 | 71 | 55 | 53 | 33 | 00 | DRR |
|------|----|----|----|----|----|----|----|----|-----|
| K0.8 | 67 | 63 | 60 | 58 | 62 | 59 | 59 | 56 | 74 |
| 1.0 | 70 | 66 | 64 | 62 | 65 | 63 | 63 | 60 | 79 |
| 1.5 | 74 | 71 | 69 | 67 | 70 | 68 | 67 | 65 | 86 |
| 2.0 | 77 | 75 | 73 | 72 | 73 | 72 | 71 | 68 | 90 |
| 2.5 | 78 | 77 | 75 | 74 | 75 | 74 | 73 | 71 | 93 |
| 3.0 | 80 | 78 | 77 | 76 | 77 | 76 | 75 | 72 | 96 |
| 4.0 | 81 | 80 | 79 | 78 | 78 | 77 | 76 | 74 | 97 |
| 5.0 | 81 | 80 | 80 | 79 | 79 | 78 | 77 | 74 | 99 |

Curva límite de luminancia

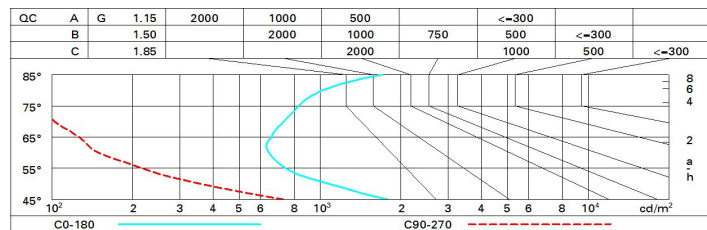


Diagrama UGR

| Corrected UGR values (at 1050 lm bare lamp luminous flux) | | | | | | | | | | | |
|---|------|------------|------|------|------|------|------------|------|------|------|------|
| Reflect.: | | | | | | | | | | | |
| ceil/cav | | 0.70 | 0.70 | 0.50 | 0.50 | 0.30 | 0.70 | 0.70 | 0.50 | 0.50 | 0.30 |
| walls | | 0.50 | 0.30 | 0.50 | 0.30 | 0.30 | 0.50 | 0.30 | 0.50 | 0.30 | 0.30 |
| work pl. | | 0.20 | 0.20 | 0.20 | 0.20 | 0.20 | 0.20 | 0.20 | 0.20 | 0.20 | 0.20 |
| Room dim | | viewed | | | | | viewed | | | | |
| x | y | crosswise | | | | | endwise | | | | |
| 2H | 2H | 11.2 | 11.9 | 11.5 | 12.2 | 12.5 | 9.6 | 10.2 | 9.9 | 10.5 | 10.8 |
| | 3H | 11.2 | 11.8 | 11.5 | 12.1 | 12.4 | 9.4 | 10.0 | 9.8 | 10.4 | 10.7 |
| | 4H | 11.1 | 11.7 | 11.5 | 12.0 | 12.4 | 9.4 | 9.9 | 9.7 | 10.3 | 10.6 |
| | 6H | 11.2 | 11.7 | 11.6 | 12.1 | 12.4 | 9.3 | 9.8 | 9.7 | 10.2 | 10.5 |
| | 8H | 11.2 | 11.7 | 11.6 | 12.1 | 12.5 | 9.2 | 9.8 | 9.6 | 10.1 | 10.5 |
| | 12H | 11.3 | 11.8 | 11.8 | 12.2 | 12.6 | 9.2 | 9.7 | 9.6 | 10.1 | 10.5 |
| 4H | 2H | 11.0 | 11.6 | 11.4 | 11.9 | 12.2 | 9.4 | 10.0 | 9.8 | 10.3 | 10.6 |
| | 3H | 10.9 | 11.4 | 11.3 | 11.8 | 12.2 | 9.3 | 9.7 | 9.7 | 10.1 | 10.5 |
| | 4H | 10.9 | 11.4 | 11.4 | 11.8 | 12.2 | 9.2 | 9.6 | 9.6 | 10.0 | 10.4 |
| | 6H | 11.0 | 11.4 | 11.5 | 11.8 | 12.3 | 9.1 | 9.5 | 9.6 | 9.9 | 10.4 |
| | 8H | 11.1 | 11.4 | 11.6 | 11.9 | 12.4 | 9.1 | 9.4 | 9.5 | 9.9 | 10.3 |
| | 12H | 11.2 | 11.5 | 11.7 | 12.0 | 12.5 | 9.0 | 9.3 | 9.5 | 9.8 | 10.3 |
| 8H | 4H | 10.8 | 11.2 | 11.3 | 11.6 | 12.1 | 9.1 | 9.4 | 9.6 | 9.9 | 10.3 |
| | 6H | 10.9 | 11.2 | 11.4 | 11.7 | 12.2 | 9.0 | 9.3 | 9.5 | 9.8 | 10.3 |
| | 8H | 11.0 | 11.3 | 11.5 | 11.8 | 12.3 | 9.0 | 9.2 | 9.5 | 9.7 | 10.3 |
| | 12H | 11.2 | 11.4 | 11.7 | 11.9 | 12.5 | 9.0 | 9.2 | 9.5 | 9.7 | 10.2 |
| 12H | 4H | 10.8 | 11.1 | 11.3 | 11.5 | 12.0 | 9.0 | 9.4 | 9.5 | 9.8 | 10.3 |
| | 6H | 10.9 | 11.1 | 11.4 | 11.6 | 12.1 | 9.0 | 9.2 | 9.5 | 9.7 | 10.3 |
| | 8H | 11.0 | 11.2 | 11.5 | 11.7 | 12.3 | 9.0 | 9.2 | 9.5 | 9.7 | 10.2 |
| Variations with the observer position at spacing: | | | | | | | | | | | |
| S = | 1.0H | 4.5 / -5.1 | | | | | 4.6 / -8.4 | | | | |
| | 1.5H | 7.2 / -5.6 | | | | | 7.4 / -9.1 | | | | |
| | 2.0H | 9.1 / -6.0 | | | | | 9.3 / -9.4 | | | | |